

《现代密码学》第五讲

PRG和流密码 (二)

本章主要内容

- OTP与伪随机数生成器
- 流密码技术的发展
- 基于LFSR的PRG
- RC4算法
- Estream 算法举例
- PRG安全与流密码安全应用

本章主要内容

- OTP与伪随机数生成器
- 流密码技术的发展
- 基于LFSR的PRG
- RC4算法
- Estream 算法举例
- PRG安全与流密码安全应用

软件算法

Salsa20

Salsa20

Salsa20密码由密码学家Daniel J. Bernstein (The University of Illinois at Chicago) 设计

输入:

密钥 k : 32个字节 (256比特) 或者16个字节 (128比特)

初始变量 (nonce) v : 8个字节;

输出:

l 个字节的序列 (a fixed key and nonce) ,
 $l \in \{0, 1, 2, \dots, 2^{70}\}$

Salsa20

Salsa20分为Salsa20_{k0,k1}(n)或Salsa20_k(n)

输入: k: 32-byte或者16-byte序列

n: 16-byte序列 (8字节的随机数nonce和8字节的block-counter)

输出: 64-byte序列

- 对于32-byte的k和16-byte的n, 定义

$$\text{Salsa20}_{k0,k1}(n) = \text{Salsa20}(\sigma_0, k_0, \sigma_1, n, \sigma_2, k_1, \sigma_3).$$

其中, $\sigma_0 = (101, 120, 112, 97)$, $\sigma_1 = (110, 100, 32, 51)$,
 $\sigma_2 = (50, 45, 98, 121)$, $\sigma_3 = (116, 101, 32, 107)$.

- 对于16-byte的k, 和16-byte的n, 定义

$$\text{Salsa20}_k(n) = \text{Salsa20}(\tau_0, k, \tau_1, n, \tau_2, k, \tau_3).$$

其中 $\tau_0 = (101, 120, 112, 97)$, $\tau_1 = (110, 100, 32, 49)$,
 $\tau_2 = (54, 45, 98, 121)$, $\tau_3 = (116, 101, 32, 107)$.

Salsa20

Salsa20(x) 定义为：

$$Salsa\ 20(x) = x + \text{doubleroun } d^{10}(x)$$

Doubleround函数

输入：16-word序列

输出：16-word序列

该函数为一个columnround之后接一个rowround，

即： $\text{doubleround}(x) = \text{rowround}(\text{columnround}(x))$

Salsa20

Salsa20 输入的64个字节 $x = (x[0], x[1], x[2], \dots, x[63])$ 输入，到 `Doublround` 函数的16个字输入转换：

$$x_0 = \text{littleendian}(x[0], x[1], x[2], x[3]),$$

$$x_1 = \text{littleendian}(x[4], x[5], x[6], x[7]),$$

$$x_2 = \text{littleendian}(x[8], x[9], x[10], x[11]),$$

⋮

$$x_{15} = \text{littleendian}(x[60], x[61], x[62], x[63]),$$

Salsa20

Littleendian函数

- 输入：4-byte序列 $b = (b_0, b_1, b_2, b_3)$
- 输出：1-word

$$\text{littleendi_an}(b) = b_0 + 2^8 b_1 + 2^{16} b_2 + 2^{24} b_3$$

Salsa20

rowround函数

- 输入：16-word序列 $y = (y_0, y_1, y_2, y_3, \dots, y_{15})$
- 输出：16-word序列 $z = (z_0, z_1, z_2, z_3, \dots, z_{15})$

$\text{rowround}(y) = (z_0, z_1, z_2, z_3, \dots, z_{15})$ 定义为：

```
(z[0], z[1], z[2], z[3])=QR(y[0], y[1], y[2], y[3]); // row 1
(z[4], z[5], z[6], z[7])=QR(y[5], y[6], y[7], y[4]); // row 2
(z[8], z[9], z[10], z[11])=QR(y[10], y[11], y[8], y[9]); // row 3
(z[12], z[13], z[14], z[15])=QR(y[15], y[12], y[13], y[14]); //
row 4
```

Salsa20

Columnround函数

- 输入：16-word序列 $x = (x_0, x_1, x_2, x_3, \dots, x_{15})$
- 输出：16-word序列 $y = (y_0, y_1, y_2, y_3, \dots, y_{15})$

$\text{columnround}(x) = (y_0, y_1, y_2, y_3, \dots, y_{15})$ 定义为：

```
(y[0], y[4], y[8], y[12]) = QR(x[0], x[4], x[8], x[12]); // column 1  
(y[1], y[5], y[9], y[13]) = QR(x[5], x[9], x[13], x[1]); // column 2  
(y[2], y[6], y[10], y[14]) = QR(x[10], x[14], x[2], x[6]); // column 3  
(y[3], y[7], y[11], y[15]) = QR(x[15], x[3], x[7], x[11]); // column 4
```

Salsa20

quarterround函数

➤ 输入：4-word序列

$$a = (a_0, a_1, a_2, a_3)$$

➤ 输出：4-word序列

$$b = (b_0, b_1, b_2, b_3)$$

$$\text{quarterround}(a) = (b_0, b_1, b_2, b_3)$$

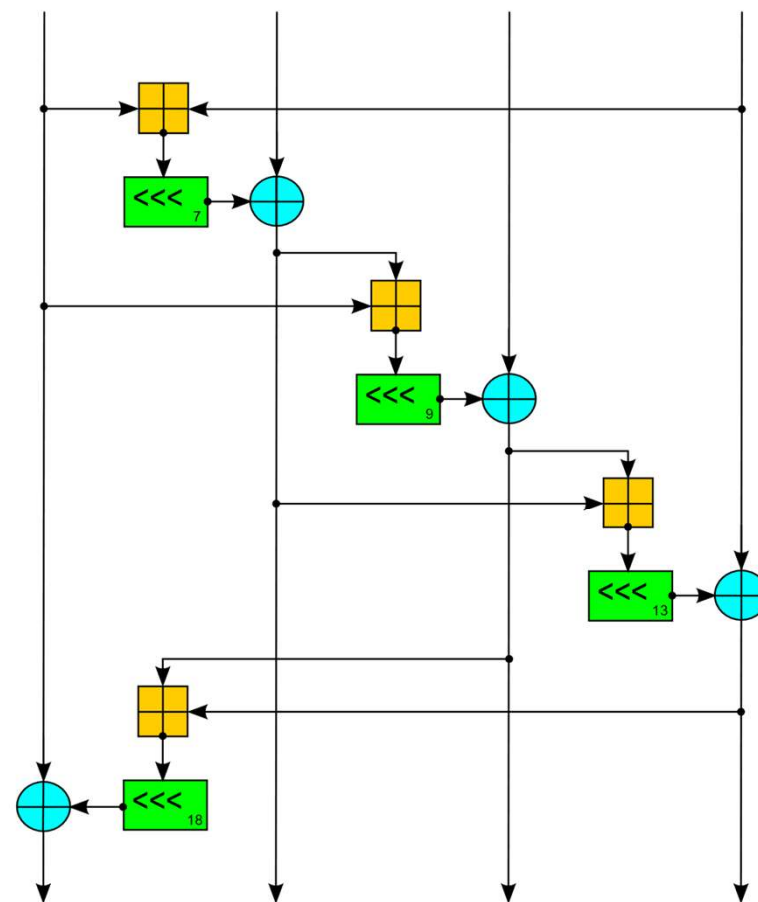
定义为：

$$b_1 = a_1 \oplus ((a_0 + a_3) \lll 7)$$

$$b_2 = a_2 \oplus ((b_1 + a_0) \lll 9)$$

$$b_3 = a_3 \oplus ((b_2 + b_1) \lll 13)$$

$$b_0 = a_0 \oplus ((b_3 + b_2) \lll 18)$$



Salsa20

设Salsa20 的输出与10轮Double round 函数的输出 $(z_0, z_1, z_2, z_3, \dots, z_{15})$ 的转化:

$$\text{littleendian}^{-1}(z_0 + x_0),$$

$$\text{littleendian}^{-1}(z_1 + x_1),$$

$$\text{littleendian}^{-1}(z_2 + x_2),$$

$$\vdots$$

$$\text{littleendian}^{-1}(z_{15} + x_{15})$$

硬件算法

Trivium

Trivium

- Trivium由Belgium密码学家C. DeCannière和 B. Preneel设计
- Trivium从一个80-bit的密钥和一个80-bit的起始变量中生成多达 2^{64} 比特的密钥流.

Trivium

初始化过程

- 密钥长度：80比特， 记为 K_1, \dots, K_{80}
 - IV 大小：80比特， 记为 IV_1, \dots, IV_{80}
 - 中间状态大小： 288比特， 记为 $s_1, \dots, s_{93}, s_{94}, \dots, s_{177}, s_{178}, \dots, s_{288}$
1. 将80-bit 的密钥和80-bit 的起始变量分别赋值给内部状态比特 $s_1 \sim s_{80}$ 和 $s_{94} \sim s_{173}$ 。同时将 s_{286}, s_{287} 和 s_{288} 置为1， 剩余所有位置零。
- $(s_1, s_2, \dots, s_{93}) \leftarrow (K_1, \dots, K_{80}, 0, \dots, 0)$
 - $(s_{94}, s_{95}, \dots, s_{177}) \leftarrow (IV_1, \dots, IV_{80}, 0, \dots, 0)$
 - $(s_{178}, s_{279}, \dots, s_{288}) \leftarrow (0, \dots, 0, 1, 1, 1)$



Trivium

2. 内部状态进行如下4个循环, 不输出:

for $i = 1 \sim 4 \cdot 288$:

$$\triangleright t_1 \leftarrow s_{66} + s_{91} \cdot s_{92} + s_{93} + s_{171}$$

$$\triangleright t_2 \leftarrow s_{162} + s_{175} \cdot s_{176} + s_{177} + s_{264}$$

$$\triangleright t_3 \leftarrow s_{243} + s_{286} \cdot s_{287} + s_{288} + s_{69}$$

$$\triangleright (s_1, s_2, \dots, s_{93}) \leftarrow (t_3, s_1, \dots, s_{92})$$

$$\triangleright (s_{94}, s_{95}, \dots, s_{177}) \leftarrow (t_1, s_{94}, \dots, s_{176})$$

$$\triangleright (s_{178}, s_{279}, \dots, s_{288}) \leftarrow (t_2, s_{178}, \dots, s_{287})$$

end for

Trivium

密钥流生成

每次迭代，在288-bit的内部状态 (s_1, \dots, s_{288}) 中提取15个比特，用它们更新3个内部状态比特，并计算1比特的密钥流 z_i 。若需要N位密钥则过程在重复 N次后停止 ($N \leq 264$)。具体算法如下代码所示：

for $i = 1$ to N do (N 为所需密钥位数)

$$\triangleright t_1 \leftarrow s_{66} + s_{93}$$

$$\triangleright t_2 \leftarrow s_{162} + s_{177}$$

$$\triangleright t_3 \leftarrow s_{243} + s_{288}$$

$$\triangleright z_i \leftarrow t_1 + t_2 + t_3$$

$$\triangleright t_1 \leftarrow t_1 + s_{91} \cdot s_{92} + s_{171}$$

$$\triangleright t_2 \leftarrow t_2 + s_{175} \cdot s_{176} + s_{264}$$

$$\triangleright t_3 \leftarrow t_3 + s_{286} \cdot s_{287} + s_{69}$$

$$\triangleright (s_1, s_2, \dots, s_{93}) \leftarrow (t_3, s_1, \dots, s_{92})$$

$$\triangleright (s_{94}, s_{95}, \dots, s_{177}) \leftarrow (t_1, s_{94}, \dots, s_{176})$$

$$(s_{178}, s_{279}, \dots, s_{288}) \leftarrow (t_2, s_{178}, \dots, s_{287})$$

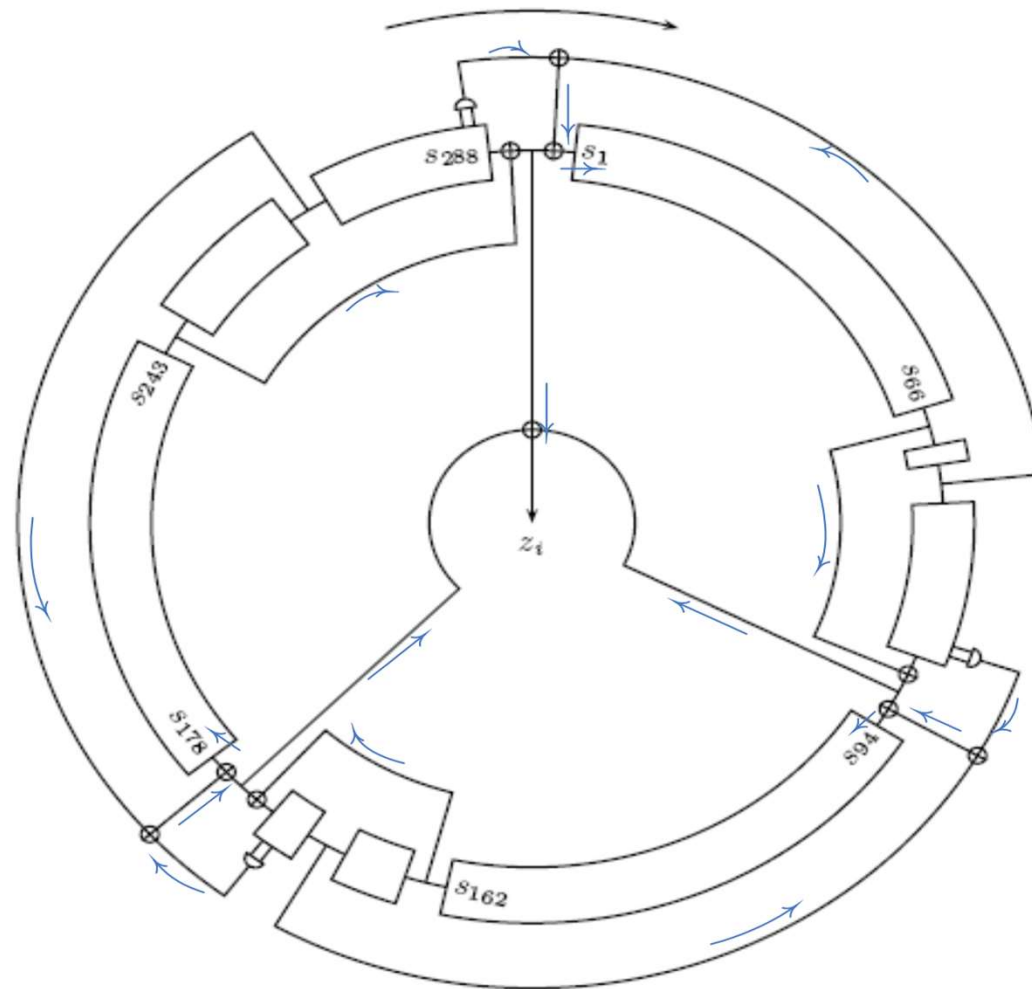
符号 ‘+’代表异或 XOR运算，符号 ‘.’代表与运算。

Trivium



北京邮电大学

BEIJING UNIVERSITY OF POSTS AND TELECOMMUNICATIONS



信息安全中心

本章主要内容

- OTP与伪随机数生成器
- 流密码技术的发展
- 基于LFSR的PRG
- RC4算法
- Estream 算法举例
- PRG安全与流密码安全应用

选择密文攻击

目标密文: $(IV, c^*) \in \{0, 1\}^t \times \{0, 1\}^n$

攻击者: 任给 $r \in \{0, 1\}^n$, 计算 $c' = c^* \oplus r$

$(IV, c') \rightarrow$ Decryption oracle

$m' \leftarrow$ Decryption oracle

计算 $m' \oplus r$ 等于 m_0 or m_1

攻击资源	攻击结果
惟密文	恢复密钥
已知明密文	恢复目标明文
选择明文	获得明文信息
选择密文	
自适应选择密文	

攻击方法

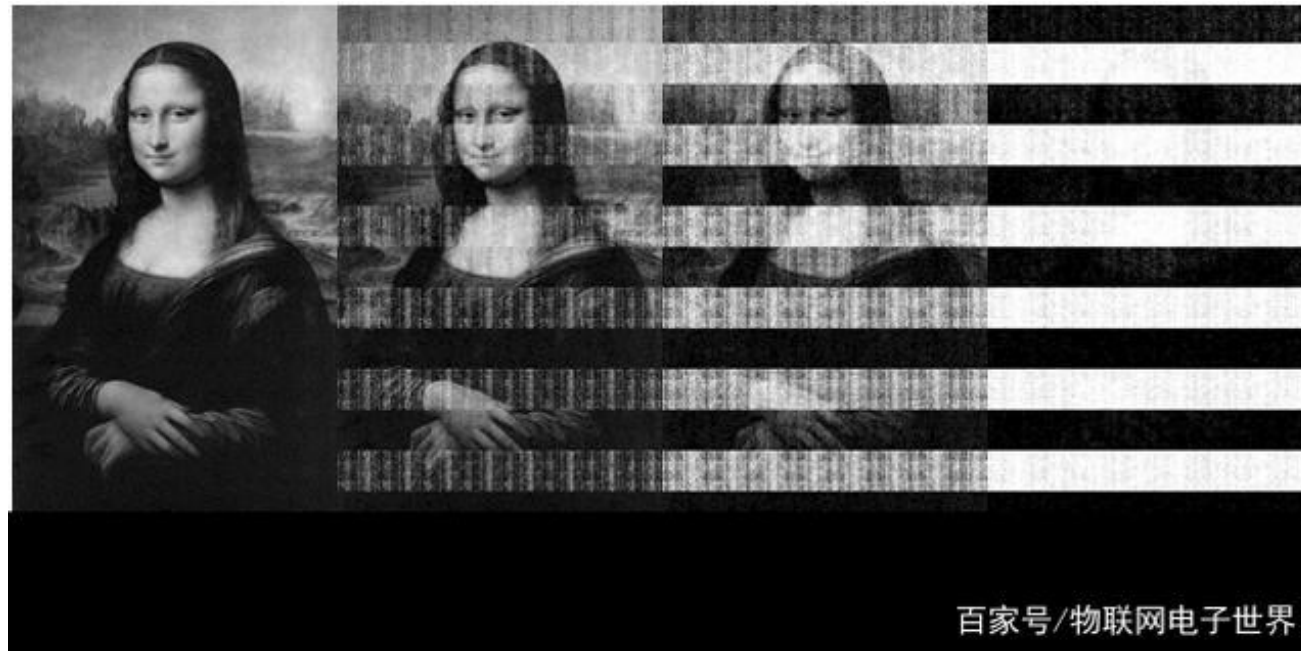
- 代数攻击方法
 - 穷举
 - 中间相遇
 - 频率、重合指数
 - 线性
 - 差分
 - 代数
 - ○ ○ ○ ○ ○

Side Channel Attack-冷冻攻击



在摄氏30度的情况下，数据会残留1至2秒，而在低温状态中，这个时间会长达数分钟

Side Channel Attack-冷冻攻击



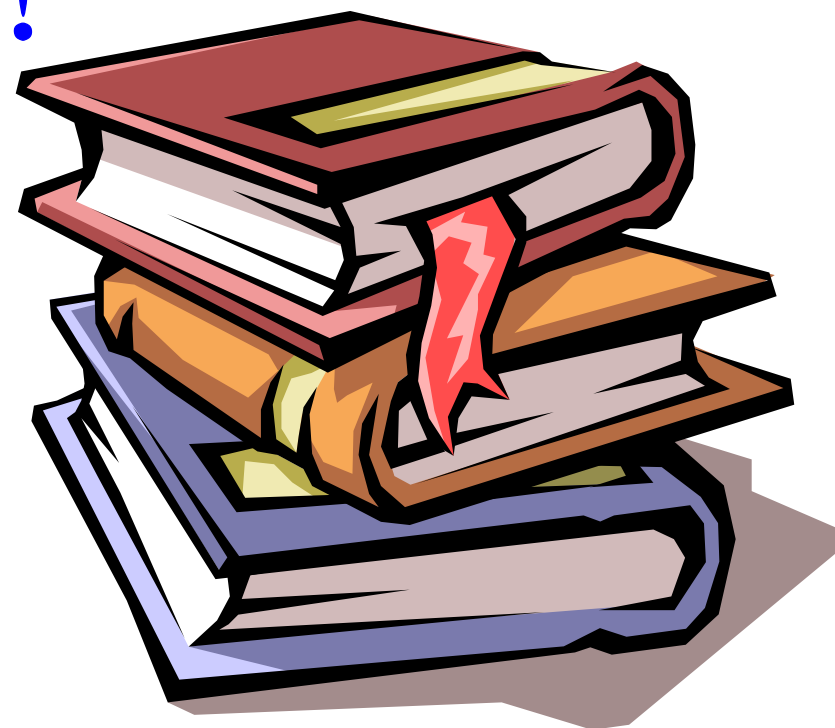
掉电后的5秒，30秒，60秒然后5分钟后存储在RAM内的图像慢慢的在消失



北京邮电大学

BEIJING UNIVERSITY OF POSTS AND TELECOMMUNICATIONS

THE END !



信息安全中心